

ФИЗИКО-ХИМИЧЕСКИЙ АНАЛИЗ  
НЕОРГАНИЧЕСКИХ СИСТЕМ

УДК 541.123

ФАЗОВЫЕ РАВНОВЕСИЯ С УЧАСТИЕМ  
ТВЕРДЫХ РАСТВОРОВ В СИСТЕМЕ Li–Eu–O

© 2023 г. Г. А. Бузанов<sup>a</sup>, \*, Г. Д. Нипан<sup>a</sup>

<sup>a</sup>Институт общей и неорганической химии им. Н.С. Курнакова РАН,  
Ленинский пр-т, 31, Москва, 119991 Россия

\*e-mail: gbuزانov@yandex.ru

Поступила в редакцию 24.07.2023 г.

После доработки 18.08.2023 г.

Принята к публикации 18.08.2023 г.

Методом рентгенофазового анализа и термогравиметрии исследованы фазовые равновесия с участием твердых растворов в системе Li–Eu–O в окислительной, инертной и восстановительной атмосферах при отжиге смесей различных прекурсоров, подвергнутых предварительной механохимической активации при температурах 400–1100°C и парциальных давлениях  $p_{O_2} \sim 21$  и 0.01 кПа и  $p_{H_2} \sim 5$  кПа. Впервые оценена растворимость лития в EuO, которая составила не менее 50–60%, а для Eu<sub>2</sub>O<sub>3</sub> и LiEu<sub>3</sub>O<sub>4</sub> – по 30% от общей суммы катионов. Наряду с LiEuO<sub>2</sub>, подтверждено образование кристаллических смешановалентных (Eu<sup>II</sup> + Eu<sup>III</sup>) фаз LiEu<sub>3</sub>O<sub>4</sub> и Li<sub>2</sub>Eu<sub>5</sub>O<sub>8</sub>. Изучено термическое поведение твердых растворов Eu<sub>1-x</sub>Li<sub>x</sub>O<sub>1-δ</sub> на основе монооксида европия и Li<sub>1+y</sub>Eu<sub>3</sub>O<sub>4-y</sub> на воздухе. Построена концентрационная фазовая диаграмма системы Li–Eu–O.

**Ключевые слова:** фазовые диаграммы, монооксид европия, многокомпонентные системы, спинтроника, гидрид лития, твердофазный синтез

**DOI:** 10.31857/S0044457X23601566, **EDN:** ZOBPGM

ВВЕДЕНИЕ

Система Li–Eu–O привлекает внимание из-за возможности образования твердого раствора Eu<sub>1-x</sub>Li<sub>x</sub>O со структурой галита, соединения LiEuO<sub>2</sub> со структурой α-NaFeO<sub>2</sub>, производной от слоистой, а также смешановалентных (Eu<sup>II</sup> + Eu<sup>III</sup>) соединений Li<sub>2</sub>Eu<sub>5</sub>O<sub>8</sub> и LiEu<sub>3</sub>O<sub>4</sub>.

Монооксид европия EuO – первый объявленный ферромагнитный полупроводник [1–6], который характеризуется точками Кюри (парамагнитная Θ<sub>C</sub> – 77 K [1] и ферромагнитная  $T_C$  – 69.4 K [7] или 66.8 K [8]) в области низких температур, что в совокупности с деградацией на воздухе [9] затрудняет его применение в технике. Для преодоления указанных недостатков чистого EuO были получены кубические твердые растворы типа Eu<sub>1-x</sub>M<sub>x</sub>O, где M – щелочноземельные (Mg–Ba) и редкоземельные металлы (Sm, Gd, Yb) [9–12]. Изоморфное замещение Eu на Mg не превышало 3%, а введение стронция и бария приводило к быстрой деградации Eu<sub>1-x</sub>M<sub>x</sub>O на воздухе [9]. Наиболее устойчивый непрерывный твердый раствор Eu<sub>1-x</sub>Ca<sub>x</sub>O позволяет сохранить температуру Кюри на уровне 75 K при введении до 20 мол. % CaO [9]. В твердых растворах, содержащих ионы Sm, Gd и

Yb, наблюдается рост  $T_C$  до 130 K и  $\Theta_C$  до 150 K, что ограничено предельным замещением Eu на редкоземельные металлы, которое в случае самария достигает 14% [9]. Кроме того, твердые растворы с участием ионов лантаноидов Eu<sub>1-x</sub>Ln<sub>x</sub>O, как и EuO, химически нестабильны. Альтернативным способом увеличения температуры Кюри служит сжатие кубической решетки EuO за счет введения катиона меньшего радиуса. С этой точки зрения представляется интересным использование иона Li<sup>+</sup>, способного стабилизировать твердый раствор Eu<sub>1-x</sub>Li<sub>x</sub>O.

Другим материалом из системы Li–Eu–O, представляющим интерес, является LiEuO<sub>2</sub> (*Pnma*), поскольку соединения LiREO<sub>2</sub> (REE = Sc, Y, La–Lu), склонные к полиморфным превращениям [13, 14], могут участвовать в образовании твердых растворов со структурой, подобной α-NaFeO<sub>2</sub> [15], которая используется в качестве катодной матрицы литий-ионных аккумуляторов и матрицы для создания люминесцентных материалов [16]. Отдельный интерес представляет изучение магнитных свойств смешановалентных (Eu<sup>II</sup> + Eu<sup>III</sup>) фаз LiEu<sub>3</sub>O<sub>4</sub> (*Pbnm*) [17, 18] и Li<sub>2</sub>Eu<sub>5</sub>O<sub>8</sub> (α-форма: *B2/m*, β-форма: *A21am*) [19], поскольку особенно-

сти свойств соединений, одновременно содержащих один и тот же ион лантаноида в двух различных степенях окисления, остаются малоизученными.

Необходимым условием получения эффективных функциональных материалов с воспроизведенными свойствами, наряду с решением задачи синтеза вещества с заданным химическим и фазовым составом, является изучение фазовых равновесий с учетом возможности образования метастабильных состояний в широком диапазоне параметров: температуры, концентраций компонентов, парциального давления летучего компонента [20–23]. До настоящего времени систематические исследования фазовых равновесий в системах Li–REE–O не проводились, однако в обзорах и справочниках представлены  $T$ – $x$ -диаграммы (температура–состав) для граничных бинарных систем Li–O [24] и Eu–O [25], а также  $P$ – $T$ -зависимости (давление–температура) для образующихся в этих системах оксидов [26]. Для системы Li–Eu характерно отсутствие взаимодействия компонентов [27].

В настоящей работе при использовании метода механохимической активации и последующего отжига при парциальных давлениях  $P_{\text{O}_2} \sim 21$  кПа и 10 Па, а также  $P_{\text{H}_2} \sim 5$  кПа исследованы фазовые равновесия в системе Li–Eu–O, определена растворимость лития в EuO, Eu<sub>2</sub>O<sub>3</sub> и LiEu<sub>3</sub>O<sub>4</sub>. Наряду с EuO и LiEuO<sub>2</sub> подтверждено равновесное существование кристаллических фаз LiEu<sub>3</sub>O<sub>4</sub> и Li<sub>2</sub>Eu<sub>5</sub>O<sub>8</sub>. Изучено термическое поведение на воздухе однофазных образцов твердых растворов Eu(Li)O<sub>1–δ</sub> и Li<sub>1+y</sub>Eu<sub>3</sub>O<sub>4–y</sub>. Впервые построена  $x$ – $y$ -проекция  $P$ – $T$ – $x$ – $y$ -фазовой диаграммы системы Li–Eu–O с учетом образования твердых растворов.

## ЭКСПЕРИМЕНТАЛЬНАЯ ЧАСТЬ

В качестве прекурсоров для синтеза поликристаллических образцов системы Li–Eu–O использовали карбонат лития Li<sub>2</sub>CO<sub>3</sub> (99.99%) и сесквиоксид европия Eu<sub>2</sub>O<sub>3</sub> (99.98%), которые предварительно прокаливали при 400 и 900°C соответственно, а также LiH (98%, по гидридному водороду). Смеси с заданным соотношением прекурсоров подвергали предварительной механохимической активации в течение 30 мин при частоте колебаний размольных стаканов (нержавеющая сталь, объем 25 мл, размольные шары диаметром 5 мм, соотношение масс шаров и прекурсоров ~20 : 1) 30 Гц в вибрационной мельнице Retsch MM400. Синтез на воздухе ( $P_{\text{O}_2} \sim 21$  кПа) проводили в алюндовых тиглях ( $V = 5$ –15 мл) в муфельной печи Nabertherm L5/11, продолжительность отжига составляла 2–3 ч, увеличение продолжительности отжига не приводило к изменению фазового со-

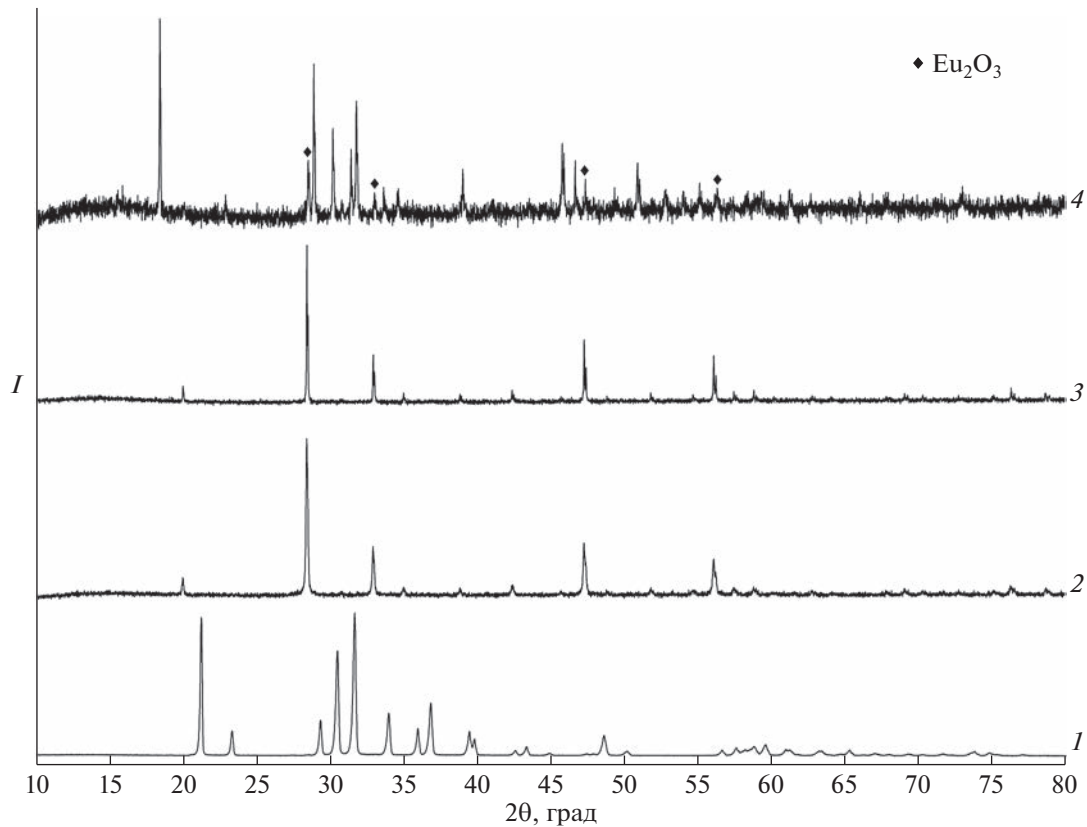
става образцов. Для отжига в среде или токе аргона высокой чистоты (99.9995% Ar) или смеси Ar + 5% H<sub>2</sub> использовали горизонтальную кварцевую трубку-реактор, герметизированную при помощи шлифовых соединений в вакууме, которую обогревали снаружи в трубчатой печи; в этом случае использовали алюндовые цилиндрические тигли с  $d_{\text{внутр}} = 7$  мм,  $d_{\text{внешн}} = 9$  мм и  $l = 35$  мм. Во избежание потери лития используемые алюндовые тигли предварительно прокаливали с сухим Li<sub>2</sub>CO<sub>3</sub> при 500°C.

Операции с образцами, чувствительными к компонентам воздуха, проводили в перчаточном боксе СПЕКС ГБ22М с рабочей атмосферой из аргона ( $\leq 5$  и 10 ppm O<sub>2</sub> и H<sub>2</sub>O соответственно).

РФА продуктов выполняли на рентгеновском дифрактометре Bruker D8 Advance (CuK<sub>α</sub>-излучение, Ni-фильтр, детектор LYNXEYE, геометрия на отражение) в интервале углов  $2\theta = 10^\circ$ – $80^\circ$  с шагом и временем накопления сигнала не менее 0.01125° и 0.3 с соответственно в низкофоновых кюветах с подложкой из ориентированного моноцисталлического кремния в Центре коллективного пользования физическими методами исследования ИОНХ РАН. Для ТГ–ДСК-исследований до температуры 1000°C использовали термоанализатор SDT Q600, скорость нагрева составляла 10 град/мин, скорость газового потока – 100 мл/мин. Определение водорода в образцах, полученных с использованием гидридов, проводили с помощью элементного анализатора CHNS EuroEA 3000. Анализ на металлы выполняли методом масс-спектрометрии с индуктивно связанный плазмой с помощью атомно-эмиссионного спектрометра с индуктивно связанный плазмой iCAP 6300 Duo, пробоподготовку осуществляли растворением исследуемого образца в соляной кислоте особой чистоты.

## РЕЗУЛЬТАТЫ И ОБСУЖДЕНИЕ

Экспериментальные дифрактограммы образцов, полученных на воздухе из прекурсоров Li<sub>2</sub>CO<sub>3</sub> и Eu<sub>2</sub>O<sub>3</sub>, приведены на рис. 1. Так, при отжиге (700–1000°C, 2–10 ч) смесей указанных прекурсоров в соотношении, не превышающем 3 : 7, наблюдается образование твердого раствора (solid solution, ss) Li<sub>2</sub>O в Eu<sub>2</sub>O<sub>3</sub> ( $Ia\bar{3}$ ,  $a = 1.0871$  нм), рис. 1, кривая 3. Дальнейшее увеличение соотношения прекурсоров приводит к получению двухфазных образцов, состоящих из ss-Eu<sub>2</sub>O<sub>3</sub> и LiEuO<sub>2</sub> ( $Pnma$ ,  $a = 1.1406$ ,  $b = 0.3480$ ,  $c = 0.5323$  нм), причем максимальное содержание второй фазы наблюдается при температуре 900°C (рис. 1, кривая 4). Увеличение температуры синтеза выше 900°C приводит к росту содержания ss-Eu<sub>2</sub>O<sub>3</sub>, что может быть связано как с сублимацией оксида лития, которая усиливается в атмосфере влажного воздуха [26],



**Рис. 1.** Дифрактограммы прекурсоров и образцов, синтезированных на воздухе: 1 –  $\text{Li}_2\text{CO}_3$ , 2 –  $\text{Eu}_2\text{O}_3$ , 3 –  $\text{Li}_2\text{CO}_3 + \text{Eu}_2\text{O}_3$  (7 : 3, 900°C, 2 ч), 4 –  $\text{Li}_2\text{CO}_3 + \text{Eu}_2\text{O}_3$  (1 : 1, 900°C, 2 ч), ◆ –  $\text{Eu}_2\text{O}_3$ .

так и с ретроградной растворимостью в  $\text{Eu}_2\text{O}_3$ . Получение однофазных препаратов  $\text{LiEuO}_2$  становится возможным при соотношении  $\text{Li}_2\text{CO}_3$  и  $\text{Eu}_2\text{O}_3 > 7 : 3$ .

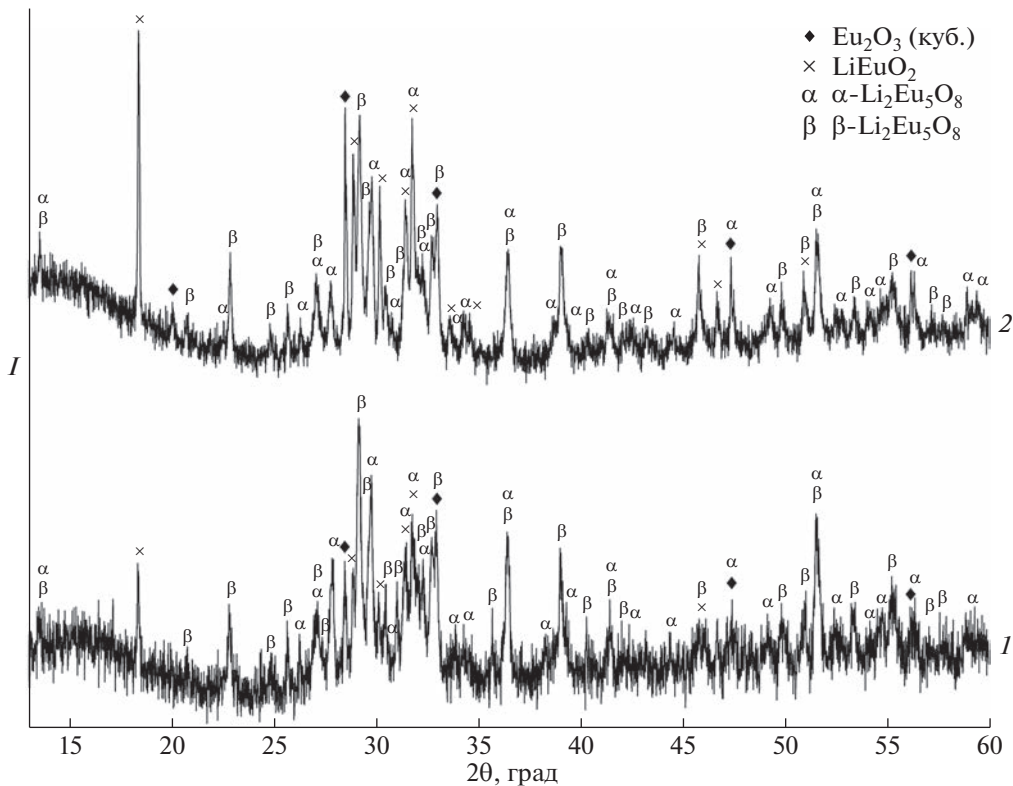
Чистый  $\text{Eu}_2\text{O}_3$  и  $\text{LiEuO}_2$  не восстанавливаются смесью  $\text{Ar} + 5\% \text{H}_2$  по меньшей мере до 1000°C. Для получения фаз, содержащих  $\text{Eu}^{II}$ , в условиях твердофазного взаимодействия возможно применение гидрида лития [17–19, 28], который, являясь хрупким солеобразным веществом, в условиях эксперимента настоящей работы легко вводится в реакционную смесь при совместном помоле прекурсоров в мельнице. Спокойное течение реакций с участием  $\text{LiH}$  в данном случае обеспечивается как слабыми окислительными свойствами иона трехвалентного европия, так и значительным вкладом ковалентной составляющей в связь M–H [29].

Дифрактограммы образцов, полученных с использованием  $\text{LiH}$  в качестве восстановителя, приведены на рис. 2, 3. В зависимости от количества восстановителя, взятого для реакции, а также (в меньшей степени) от атмосферы ( $\text{Ar}$  или  $\text{Ar} + \text{H}_2$ ) возможно получение как твердого раствора  $\text{Li}_2\text{O}$  в  $\text{EuO}$  со структурой каменной соли, так и смеша-

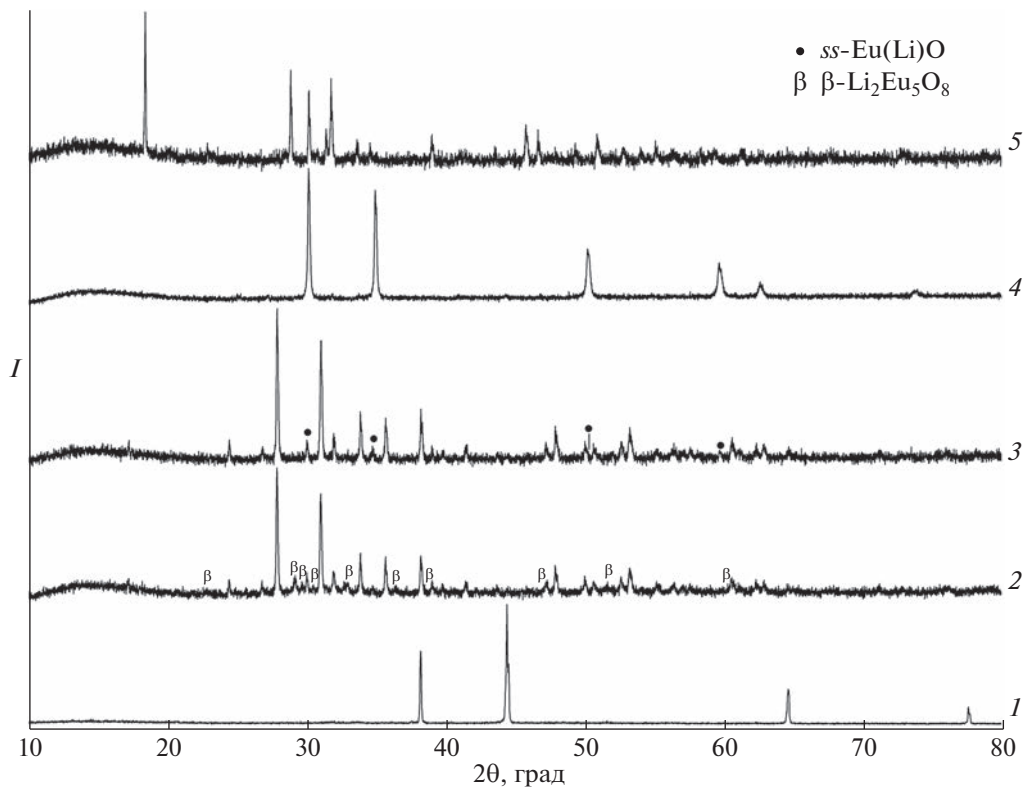
новалентных ( $\text{Eu}^{II} + \text{Eu}^{III}$ ) соединений  $\text{Li}_2\text{Eu}_5\text{O}_8$  или твердых растворов на основе  $\text{LiEu}_3\text{O}_4$ .

Так, отжиг эквимолярных смесей гидрида лития и сесквиоксида европия приводит к образованию многофазных образцов, состоящих из  $\text{LiEuO}_2$ ,  $ss\text{-}\text{Eu}_2\text{O}_3$ , а также  $\text{Li}_2\text{Eu}_5\text{O}_8$  двух модификаций ( $\alpha$ -форма:  $B2/m$ ,  $a = 1.3390$ ,  $b = 0.9771$ ,  $c = 0.3538$  нм,  $\gamma = 119.62^\circ$ ;  $\beta$ -форма:  $A21am$ ,  $a = 1.3201$ ,  $b = 1.7173$ ,  $c = 0.3557$  нм), причем с ростом температуры от 650 до 750°C увеличивается содержание  $\text{LiEuO}_2$  и  $\alpha$ -модификации  $\text{Li}_2\text{Eu}_5\text{O}_8$  (рис. 2), что согласуется с данными [19].

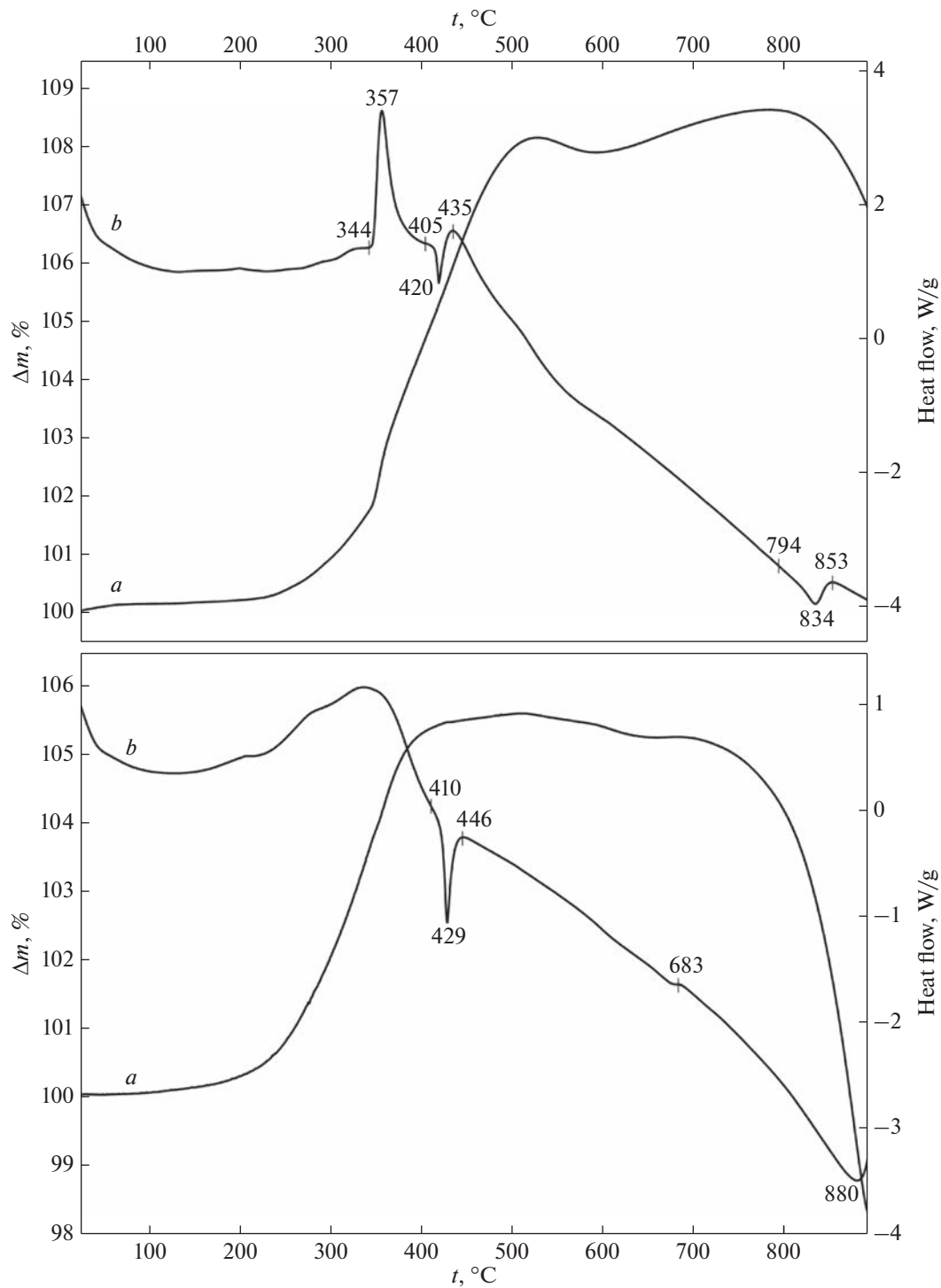
Однофазные образцы твердого раствора  $\text{LiEu}_3\text{O}_4$  ( $Pbnm$ ,  $a = 1.1560$ ,  $b = 1.5361$ ,  $c = 3.4823$  нм) образуются при отжиге смесей  $\text{Eu}_2\text{O}_3$  и  $\text{LiH}$ , взятых в мольном соотношении 1 : 2, при 650°C в атмосфере аргона высокой чистоты в течение 2 ч. Использование тока  $\text{Ar} + 5\% \text{H}_2$  для отжига смеси аналогичного состава приводит к получению препаратов  $ss\text{-}\text{LiEu}_3\text{O}_4$ , содержащих в качестве примеси  $\beta\text{-}\text{Li}_2\text{Eu}_5\text{O}_8$  (620°C, 2 ч) и  $ss\text{-}\text{EuO}$  (650°C, 2.5–3 ч). Рис. 3, кривые 2 и 3 соответственно. При использовании в качестве прекурсоров  $\text{Eu}_2\text{O}_3$  и  $\text{LiH}$  однофазные образцы  $ss\text{-}\text{EuO}$  ( $Fm\bar{3}m$ ,  $a = 0.5047$  нм) образуются при отжиге (650°C, 2 ч) в токе аргона



**Рис. 2.** Дифрактограммы препаратов, полученных при отжиге эквимолярных смесей  $\text{Eu}_2\text{O}_3$  и  $\text{LiH}$  в токе газовой смеси  $\text{Ar} + 5\% \text{H}_2$ : 1 –  $650^\circ\text{C}$  (2 ч), 2 –  $750^\circ\text{C}$  (3 ч), ◆ –  $\text{Eu}_2\text{O}_3$  (куб.), × –  $\text{LiEuO}_2$ , α –  $\alpha\text{-Li}_2\text{Eu}_5\text{O}_8$ , β –  $\beta\text{-Li}_2\text{Eu}_5\text{O}_8$ .



**Рис. 3.** Дифрактограммы образцов, полученных в инертной и восстановительной атмосфере: 1 –  $\text{LiH}$  (прекурсор), 2 –  $\text{Eu}_2\text{O}_3 + 2\text{LiH}$  ( $620^\circ\text{C}$ , 2.5 ч,  $\text{Ar} + 5\% \text{H}_2$ ), 3 –  $\text{Eu}_2\text{O}_3 + 2\text{LiH}$  ( $650^\circ\text{C}$ , 2 ч,  $\text{Ar} + 5\% \text{H}_2$ ), 4 –  $\text{Eu}_2\text{O}_3 + 2.9\text{LiH}$  ( $650^\circ\text{C}$ , 2 ч,  $\text{Ar}$ ); 5 – продукт окисления твердого раствора  $\text{Eu}_{0.5}\text{Li}_{0.5}\text{O}_{1-\eta}$  на воздухе в условиях ТГ–ДСК-эксперимента  $\beta$  –  $\beta\text{-Li}_2\text{Eu}_5\text{O}_8$ , • –  $\text{ss-Eu}(\text{Li})\text{O}$ .



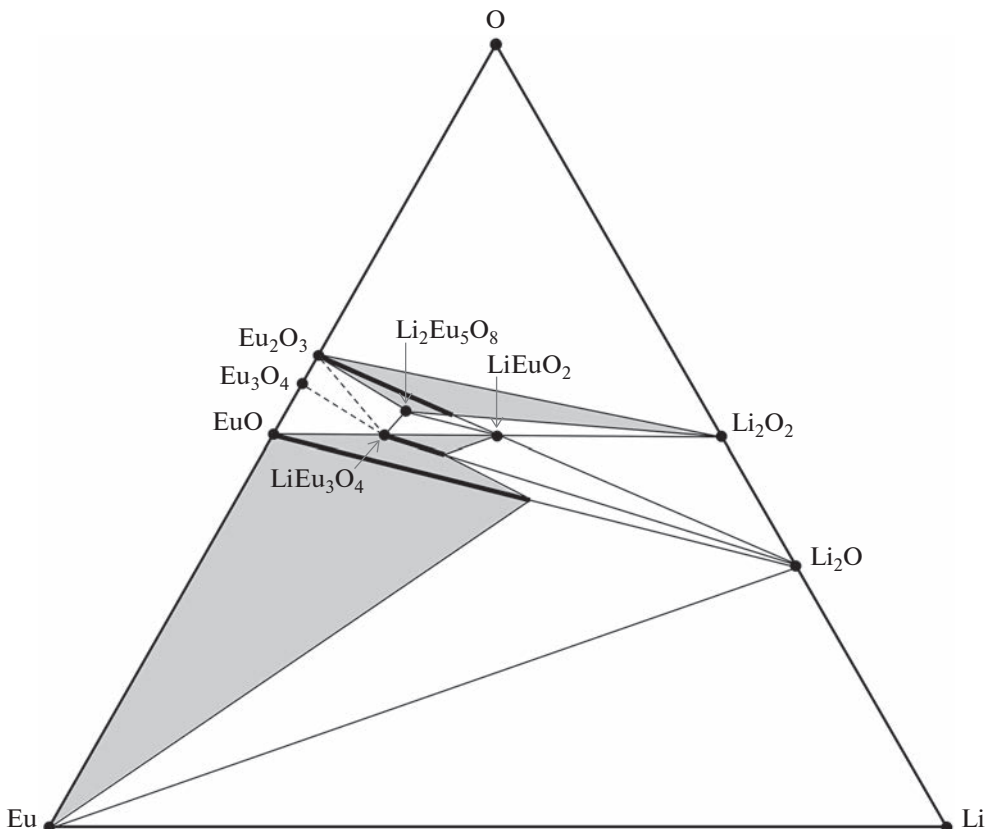
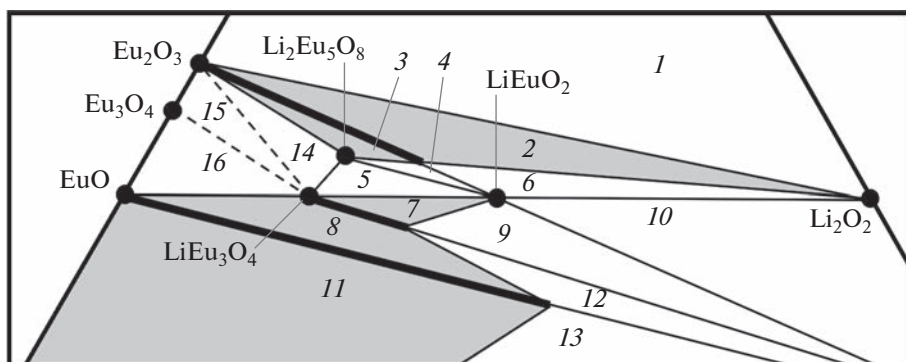
**Рис. 4.** Термограммы однофазных образцов твердых растворов на воздухе: верх –  $\text{Eu}_{0.5}\text{Li}_{0.5}\text{O}_{1-\eta}$ , низ –  $\text{Li}_{1.3}\text{Eu}_3\text{O}_{4-\zeta}$ ; *a* – кривая изменения массы, *b* – дифференциальная кривая.

смесей с мольным соотношением  $\text{LiH} : \text{Eu}_2\text{O}_3 = 2.9–3 : 1$  (рис. 3, кривая 4). Полученные таким образом продукты не содержат в своем составе гидридного водорода.

Фаза  $\text{Eu}_3\text{O}_4$  в условиях эксперимента в равновесиях не наблюдалась, что, вероятно, связано с обра-

зованием тройных соединений  $\text{LiEu}_3\text{O}_4$  и  $\text{Li}_2\text{Eu}_5\text{O}_8$  при восстановлении  $\text{Eu}_2\text{O}_3$  гидридом лития.

Термическое поведение однофазных образцов твердых растворов на основе  $\text{EuO}$  и  $\text{LiEu}_3\text{O}_4$  на воздухе характеризуется тремя основными этапа-

Рис. 5.  $x$ - $y$ -Проекция  $P$ - $T$ - $x$ - $y$ -фазовой диаграммы системы  $\text{Li}-\text{Eu}-\text{O}$ .Рис. 6. Фрагмент  $x$ - $y$ -проекции, демонстрирующий равновесия с участием твердых растворов.

ми: окислением, твердофазной реакцией образования  $\text{LiEuO}_2$  с последующим плавлением. Твердый раствор  $\text{Eu}_{0.5}\text{Li}_{0.5}\text{O}_{1-\eta}$  на воздухе начинает заметно присоединять кислород выше  $240^\circ\text{C}$  (рис. 4). Значительный экзотермический эффект при  $344^\circ\text{C}$  с максимумом при  $357^\circ\text{C}$  связан с разрушением твердого раствора  $\text{Li}_2\text{O}$  в  $\text{EuO}$  со структурой  $\text{NaCl}$  и образованием твердого раствора на основе  $\text{Eu}_2\text{O}_3$ , который при дальнейшем нагревании ( $410$ – $446^\circ\text{C}$ ) превращается в  $\text{LiEuO}_2$  (рис. 3, кривая 5).

При  $794^\circ\text{C}$  начинает плавиться смесь  $\text{LiEuO}_2$  с  $\text{Li}_2\text{O}$  с образованием гомогенного расплава при  $835^\circ\text{C}$ . В случае твердого раствора  $\text{Li}_{1.3}\text{Eu}_3\text{O}_{4-\zeta}$  наблюдается заметное поглощение кислорода выше  $180^\circ\text{C}$ , чему соответствует широкий эндоэффект ( $200$ – $410^\circ\text{C}$ ), который, по-видимому, отражает наложение нескольких превращений, связанных с окислением фаз, содержащих  $\text{Eu}^{II}$ . Аналогично  $\text{Eu}_{0.5}\text{Li}_{0.5}\text{O}_{1-\eta}$  на термограмме  $\text{Li}_{1.3}\text{Eu}_3\text{O}_{4-\zeta}$  наблюдается эндотермический эффект в интервале  $410$ – $446^\circ\text{C}$ , который соответствует реакции синтеза

$\text{LiEuO}_2$  из образовавшегося на предыдущей стадии твердого раствора на основе  $\text{Eu}_2\text{O}_3$ . При  $683^\circ\text{C}$ , вероятно, происходит твердофазное превращение, далее наблюдается плавление двухфазной смеси  $\text{LiEuO}_2$  и  $\text{Eu}_2\text{O}_3$  с образованием гомогенного расплава при  $880^\circ\text{C}$ . На основании полученных экспериментальных данных была построена  $x$ - $y$ -проекция  $P-T-x-y$ -фазовой диаграммы системы  $\text{Li}-\text{Eu}-\text{O}$  с участием твердых растворов (рис. 5, 6). Полужирными линиями обозначены концентрационные области существования твердых растворов на основе  $\text{EuO}$ ,  $\text{Eu}_2\text{O}_3$  и  $\text{LiEu}_3\text{O}_4$ . Номера полей (рис. 6) соответствуют двухфазным равновесиям: 1 –  $\text{Li}_2\text{O}_2-\text{Eu}_2\text{O}_3$ , 2 –  $\text{ss}-\text{Eu}_2\text{O}_3-\text{Li}_2\text{O}_2$ , 3 –  $\text{ss}-\text{Eu}_2\text{O}_3-\text{Li}_2\text{Eu}_5\text{O}_8$ , 7 –  $\text{LiEuO}_2-\text{ss}-\text{LiEu}_3\text{O}_4$ , 8 –  $\text{ss}-\text{EuO}-\text{ss}-\text{LiEu}_3\text{O}_4$ , 11 –  $\text{ss}-\text{EuO}-\text{Eu}$  и трехфазным равновесиям: 4 –  $\text{LiEuO}_2-\text{ss}-\text{Eu}_2\text{O}_3-\text{Li}_2\text{Eu}_5\text{O}_8$ , 5 –  $\text{LiEu}_3\text{O}_4-\text{LiEuO}_2-\text{Li}_2\text{Eu}_5\text{O}_8$ , 6 –  $\text{ss}-\text{Eu}_2\text{O}_3-\text{LiEuO}_2-\text{Li}_2\text{O}_2$ , 9 –  $\text{LiEuO}_2-\text{Li}_2\text{O}-\text{ss}-\text{LiEu}_3\text{O}_4$ , 10 –  $\text{LiEuO}_2-\text{Li}_2\text{O}_2-\text{Li}_2\text{O}$ , 12 –  $\text{Li}_2\text{O}-\text{ss}-\text{EuO}-\text{ss}-\text{LiEu}_3\text{O}_4$ , 13 –  $\text{Eu}-\text{Li}_2\text{O}-\text{ss}-\text{EuO}$ . Равновесию  $\text{Li}-\text{Li}_2\text{O}-\text{Eu}$  соответствует нижняя правая часть  $x$ - $y$ -проекции (рис. 5). Равновесия 14 ( $\text{Eu}_2\text{O}_3-\text{Li}_2\text{Eu}_5\text{O}_8-\text{LiEu}_3\text{O}_4$ ), 15 ( $\text{Eu}_2\text{O}_3-\text{Eu}_3\text{O}_4-\text{LiEu}_3\text{O}_4$ ) и 16 ( $\text{Eu}_3\text{O}_4-\text{EuO}-\text{LiEu}_3\text{O}_4$ ) являются гипотетическими.

## ЗАКЛЮЧЕНИЕ

На основании массива собственных экспериментальных данных, полученных при отжиге смесей прекурсоров с заданным элементным составом в окислительной, инертной и восстановительной атмосферах, построена  $x$ - $y$ -проекция  $P-T-x-y$ -фазовой диаграммы системы  $\text{Li}-\text{Eu}-\text{O}$ , демонстрирующая фазовые равновесия с участием существующих в данной системе кристаллических фаз. Обнаружено существование протяженных твердых растворов  $\text{Li}_2\text{O}$  в  $\text{EuO}$ ,  $\text{Eu}_2\text{O}_3$  и  $\text{LiEu}_3\text{O}_4$ . Для систем  $\text{Li}-\text{REE}-\text{O}$  подобное построение выполнено впервые.

## БЛАГОДАРНОСТЬ

Элементный анализ (ICP-MS, CHNS) выполнен с использованием научного оборудования ЦКП “Исследовательский химико-аналитический центр НИЦ “Курчатовский институт”.

## ФИНАНСИРОВАНИЕ РАБОТЫ

Исследование выполнено при финансовой поддержке Российского научного фонда (проект № 23-23-00576).

## КОНФЛИКТ ИНТЕРЕСОВ

Коллектив авторов заявляет об отсутствии конфликта интересов.

## СПИСОК ЛИТЕРАТУРЫ

- Matthias B.T., Bozorth R.M., Van Vleck J.H. // Phys. Rev. Lett. 1961. V. 7. № 5. P. 160. <https://doi.org/10.1103/PhysRevLett.7.160>
- Schmehl A., Vaithyanathan V., Herrnberger A. et al. // Nature Mater. 2007. V. 6 P. 882. <https://doi.org/10.1038/nmat2012>
- Steeneken P.G., Tjeng L.H., Elfimov I. et al. // Phys. Rev. Lett. 2002. V. 88. P. 047201. <https://doi.org/10.1103/PhysRevLett.88.047201>
- Hasegawa Y. // Chem. Lett. 2013. V. 42. № 1. P. 2. <https://doi.org/10.1246/cl.2013.2>
- Lettieri J., Vaithyanathan V., Eah S.K. et al. // Appl. Phys. Lett. 2003. V. 83. P. 975. <https://doi.org/10.1063/1.1593832>
- Borukhovich A.S. // Mod. Electron. Mater. 2020. V. 6. № 3. P. 113. <https://doi.org/10.3897/j.moem.6.3.54583>
- Borukhovich A.S., Troshin A.V. Europium Monoxide Semiconductor and Ferromagnet for Spintronics. Springer Series in Materials Science. Springer, 2018. V. 265. 189 p. <https://doi.org/10.1007/978-3-319-76741-3>
- Королева Л.И. Магнитные полупроводники. М.: Физический факультет МГУ, 2003. 312 с.
- Бамбуров В.Г., Борухович А.С., Самохвалов А.А. Введение в физико-химию ферромагнитных полупроводников. М.: Металлургия, 1988. 206 с.
- Parfenov O.E., Averyanov D.V., Tokmachev A.M. et al. // J. Condens. Matter Phys. 2016. V. 28. № 22. P. 226001. <https://doi.org/10.1088/0953-8984/28/22/226001>
- Kats V.N., Nefedov S.G., Shelukhin L.A. et al. // Appl. Mater. Today. 2020. V. 19. P. 100640. <https://doi.org/10.1016/j.apmt.2020.100640>
- Kabanov V., Korenyuk S., Fedorenko Y. // Thin Solid Films. 2001. V. 400. № 1–2. P. 116. [https://doi.org/10.1016/s0040-6090\(01\)01469-9](https://doi.org/10.1016/s0040-6090(01)01469-9)
- Hashimoto Y., Wakeshima M., Matsuhira K. et al. // Chem. Mater. 2002. V. 14. № 8. P. 3245. <https://doi.org/10.1021/cm010728u>
- Waintal A., Gondrand M. // Mater. Res. Bull. 1967. V. 2. № 9. P. 889. [https://doi.org/10.1016/0025-5408\(67\)90099-2](https://doi.org/10.1016/0025-5408(67)90099-2)
- Julien C.M., Mauger A., Zaghib K., Groult H. // Inorganics. 2014. V. 2. № 1. P. 132. <https://doi.org/10.3390/inorganics2010132>
- Cantwell J.R., Roof I.P., Smith M.D. et al. // Solid State Sci. 2011. V. 13. № 5. P. 1006. <https://doi.org/10.1016/j.solidstatosciences.2011.02.001>
- Bärnighausen H. // Z. Anorg. Allg. Chem. 1970. V. 374. № 2. P. 201. <https://doi.org/10.1002/zaac.19703740209>
- Bärnighausen H. // Z. Anorg. Allg. Chem. 1967. V. 349. № 5–6. P. 280. <https://doi.org/10.1002/zaac.19673490508>
- Nyokong T., Greedan J.E. // Inorg. Chem. 1982. V. 21. № 1. P. 398. <https://doi.org/10.1021/ic00131a071>

20. *Buzanov G.A., Nipan G.D., Zhizhin K.Yu., Kuznetsov N.T.* // Russ. J. Inorg. Chem. 2017. V. 62. № 5. P. 551.  
<https://doi.org/10.1134/s0036023617050059>
21. *Nipan G.D., Buzanov G.A., Zhizhin K.Y., Kuznetsov N.T.* // Russ. J. Inorg. Chem. 2016. V. 61. № 14. P. 1689.  
<https://doi.org/10.1134/s0036023616140035>
22. *Buzanov G.A., Nipan G.D., Zhizhin K.Y., Kuznetsov N.T.* // Dokl. Chem. 2015. V. 465. V. 1. P. 268.  
<https://doi.org/10.1134/s0012500815110063>
23. *Buzanov G.A., Nipan G.D.* // Russ. J. Inorg. Chem. 2022. V. 67. P. 1035.  
<https://doi.org/10.1134/S0036023622070051>
24. *Chang K., Hallstedt B.* // CALPHAD. 2011. V. 35. P. 160.  
<https://doi.org/10.1016/j.calphad.2011.02.003>
25. *Massalski T.B.* Binary Alloy Phase Diagrams – 2nd edition. ASM International, Materials Park, Ohio, USA. 1990. 3589 p.
26. *Казенас Е.К., Цветков Ю.В.* Испарение оксидов. М.: Наука, 1997. 542 с.
27. *Sun Y., Qiao Z.* // High Temp. Mater. Process. 1999. V. 3. № 1. P. 125.  
<https://doi.org/10.1615/HighTempMatProc.v3.i1.110>
28. *Rudolph D., Ensling D., Jüstel T., Schleid T.* // Z. Anorg. Allg. Chem. 2017. V. 643. № 21. P. 1525.  
<https://doi.org/10.1002/zaac.201700224>
29. *Nakajima H., Nohira T., Ito Y.* // Electrochim. Solid-State Lett. 2004. V. 7. № 5. P. E27.  
<https://doi.org/10.1149/1.1664052>